

## 413-④ 砂浜の浸透水量の評価

九州産業大学工学部 正会員 杉尾 哲

## 1. まえがき

これまでの海岸事業は、国土保全を主目的として行なわれてきたことから、海岸線は次第に様相を変ぼうし、ほとんどが不透水性の堅固な海岸構造物で遮蔽されてしまったが、海水の汚染が取りざたされる近年には、このようやく海滨のもう種々の機能を見なおす動きが現われてきている。本報においでは、海滨の海水浄化能力の推定と能力拡大の検討のための基礎資料の作成を目的として、数値モデルにより、高潮時に起る砂浜内の地下水位の変動を解析し、砂浜内で移動する海水量の把握を行なおうとするものである。

## 2. 解析手法

図-1の断面をモデル海浜と考え、太潮を想定して、海域で2.0mの潮位変動（周期12時間25分、正弦変動）を与えた場合の砂浜内の地下水水面の動きと、砂浜内へ侵入し排出する海水量を、数値解析により求めた。

解析手法は、運動方程式において非定常項の効果は微小であると考え、砂浜内の水頭を Laplace 式で解いて、自由地下水位の高さの変動は連続式により算出するものである。

$$\frac{\partial^2 h}{\partial x^2} + \frac{\partial^2 h}{\partial y^2} = 0 \quad \dots (1)$$

$$\frac{\beta \partial \eta}{k \partial t} = \frac{\partial \eta}{\partial x} \frac{\partial h}{\partial x} - \frac{\partial h}{\partial y}$$

式-1の解析には有効要素法、式-2の解析には差分法(陽解法)を用いた。なお本報では $\beta$ は一定とし、有効隙隙率と同値(0.3)を考える。式-2の右辺第1項に非線形項があるため、発散性の強い解析となるが、今回各微分係数について、地下水頭

位置の水頭を  $h(0)$ 、これより鉛直距離  $a$ だけ下位置の水頭を  $h_1$  とする時と算出し。さらに各時間ステップ毎ここに平滑係数は  $m = 0.6$  としていつつこの時間差  $\Delta t$  は 15 分として

### 3. 解析結果と検討

解説結果を示すと、砂浜内の地下水水面の変動は図-2の様になる。図は潮汐の潮位が8.0mの時を0時として描いているが、潮位が上昇するにつれて砂浜内部で0時の地下水水面より低下し、次第に凸形になりながら上昇する。下げ潮になると、今度は砂浜内で高潮時の地下水水面より上昇し、次第に凸形になつて下降する。これらの傾向は実際の砂浜で測定された地下水水面形状の測定結果とほぼ類似している。ここに砂浜内の地下水水面の最高位置と最低位置とに夾まれた領域では、高潮時には空気が侵入し、高潮時にはその空気を追い出して海水が侵入する現象を繰返しており、一種の散水ろ床と同じ機能を有しているものと考えられていく。この空気と交換する海

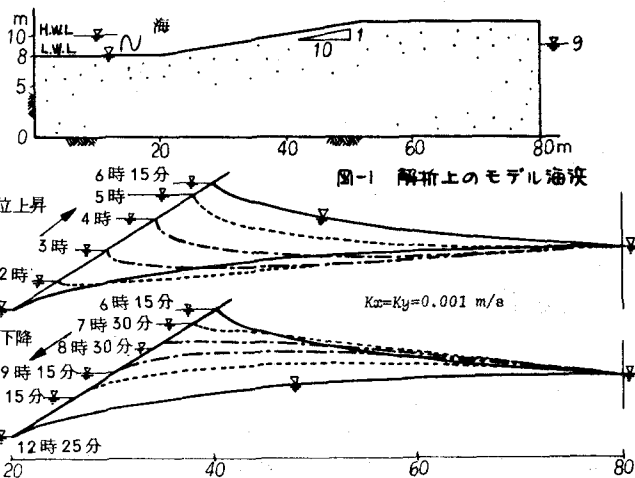


図-2 潮位変動に伴なう砂漠内の地下水水面の動き

$$\frac{\partial h_1(0)}{\partial x} = \frac{\partial h_1}{\partial x} + a \cdot \frac{\partial(\partial h_1 / \partial y)}{\partial x}, \quad \frac{\partial h_1(0)}{\partial y} = \frac{\partial h_1}{\partial y} + a \cdot \frac{\partial^2 h_1}{\partial y^2} \quad \dots \quad (3)$$

$\eta$  の平滑化を行なう処理した。 $\eta_i = m \cdot \eta_i + (1-m) \cdot (\eta_{i-1} + \eta_{i+1}) / 2 \dots \dots (4)$

水量を、上記領域内の体積に有効回遊率 0.3 を乗じて概算すると、本報の場合、一潮流あたりに約  $11.7 \text{ m}^3/\text{m}$  となる。

次に、図3の様に各要素の浸透流速を算出し、これより各時間毎に海面下の地表部にありて浸透流量を累計して、海域と砂漠との交換される海水量を概算すると図4の点線の様になり。(i)砂漠への侵入量  $4.4 \text{ m}^3/\text{m}$ 、海域への排出量  $3.8 \text{ m}^3/\text{m}$  となる。同様に斜面だけ交換される海水量を求めると一点鎖線の様に(iii)砂漠への侵入量  $4.1 \text{ m}^3/\text{m}$ 、海域への排出量  $1.8 \text{ m}^3/\text{m}$  となる。(iv)の出入り量の差  $0.6 \text{ m}^3/\text{m}$  については、一潮流の間の残差として、この量が図1右側の水域へ流出したものと考えられるが、(ii)の残差  $2.3 \text{ m}^3/\text{m}$  については、(i)の  $0.6 \text{ m}^3/\text{m}$  を差し引いて残りの  $1.7 \text{ m}^3/\text{m}$  が、砂漠内を浸透して、図1左側の水平底部から排出される成分を表わしていると考えられる。実際上は図1右側の水域は存在しないから、流出量  $0.6 \text{ m}^3/\text{m}$  を始めから差し引くと、表1の様になる。次に図3-1に示す斜面中央部の要素 No.45 と、斜面下側寄りの要素 No.60 における各時刻の流速流速を合成して一潮流の間の间隙水の移動を略記すると図5の様になる。No.95の図より、斜面にありて侵入していく海水の侵入深度は浅く、全体的に左下方へ移動していく傾向がうかがわれる、No.80の図より、斜面下部では浸透してきた间隙水が次第に左上方の地表部に移動していく傾向がうかがわれる。

以上の結果をまとめると、本解析モデルでは、最低地下水面より上側で空気と交代する间隙水量は約  $11 \text{ m}^3/\text{m}$  と算出されるが、その内、海水の浄化に寄与すると言われる海域と砂漠との海水の交換量は約  $1/3$  の  $3.8 \text{ m}^3/\text{m}$  にすぎず、海水の侵入深度が浅いことを考慮すると、残りの約  $2/3$  は砂漠内に定常的に存在し、海域と交換される以外の间隙水が占められていくと推定される。すばら海水の浄化に力があるのは砂漠の斜面地表部の部分だけであり、砂漠の大半は有効に機能していないものと推定される。

今後、砂漠のもつ浄化能を十分に發揮させたためにも、砂漠内への海水の侵入を活用化させる人工的な方法等を考えなくていい。

#### 参考文献

運輸省水工港湾建設局：砂漠の海水浄化作用（着工計画基礎調査報告書総集編），昭和56年3月。

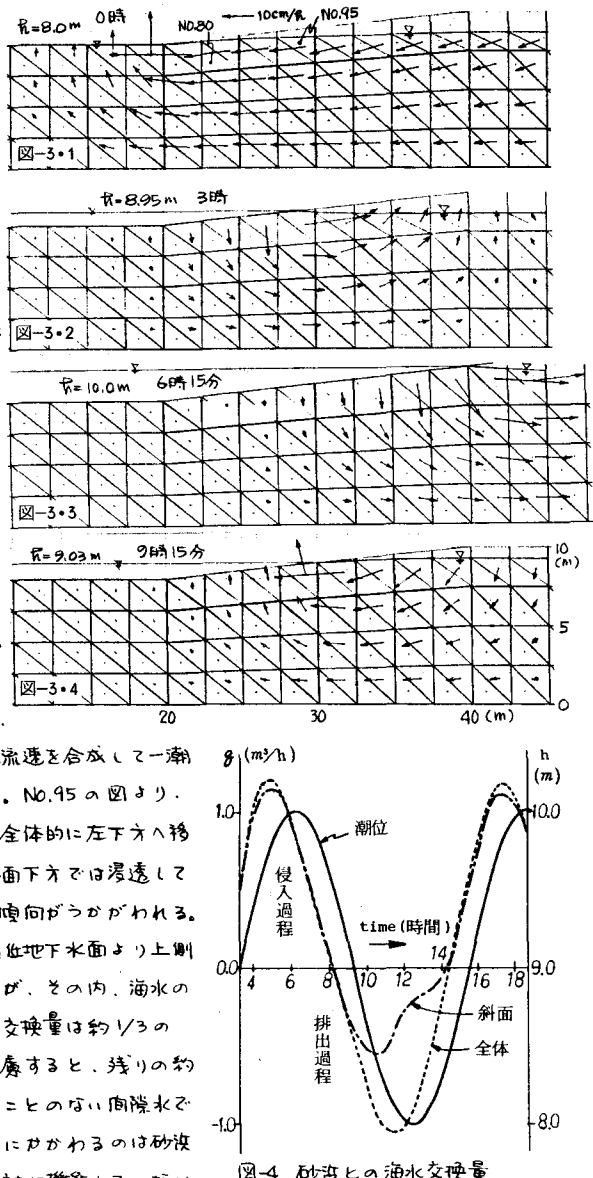


図4 砂漠との海水交換量

表1 移動水量			
場所	侵入量	排出量	空気と交換水量
全体	$3.8 \text{ m}^3/\text{m}$	$3.8 \text{ m}^3/\text{m}$	$11.1 \text{ m}^3/\text{m}$
斜面	$3.5 \text{ m}^3/\text{m}$	$1.8 \text{ m}^3/\text{m}$	
坪部	$0.3 \text{ m}^3/\text{m}$	$2.0 \text{ m}^3/\text{m}$	

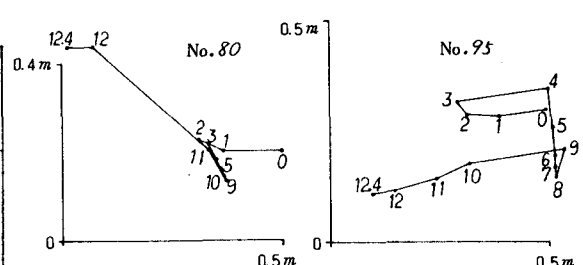


図5 斜面地表部における间隙水の移動